

· 研究原著 ·

文章编号: 1000-2790(2001)03-0211-03

p38MAPK 基因诱导胶质瘤细胞凋亡

章必成¹, 李青¹, 巩西启², 叶菁¹, 陈广生¹, 王映梅¹, 林圣彩³ (¹ 第四军医大学西京医院病理科, 陕西 西安 710033,² 北京卫戍区三师医院, 北京, ³ 新加坡国立大学分子细胞生物学研究所, 新加坡)

关键词: p38 分裂原激活蛋白激酶; 基因转染; 胶质瘤; 凋亡;
大鼠

中图号: R 739.41 文献标识码: A

摘要: 目的 研究 p38MAPK 基因转染大鼠胶质瘤细胞系 C6 后对其生物学特性的影响。方法 利用脂质体介导法将 p38MAPK 基因导入大鼠胶质瘤细胞系 C6 中, 用免疫细胞化学染色检测其在细胞转染前后的表达情况, 用 HE 染色、流式细胞仪等方法研究其对细胞形态、粘着状况和生长周期的影响。结果 转染 pCMV5-p38MAPK 质粒组 p38MAPK 蛋白表达阳性, 细胞形态发生变化, 贴壁性降低, 出现大量凋亡细胞。结论 转染 p38MAPK 基因可诱导胶质瘤细胞凋亡。

p38MAPK induces apoptosis of glioma cell

ZHANG Bi-Cheng¹, LI Qiang¹, GONG Xi-Qi², YE Jing¹, CHEN Guang-Sheng¹, WANG Ying-Mei¹, LIN Sheng-Cai³

¹ Department of Pathology, Xijing Hospital, Fourth Military Medical University, Xi'an 710033, China,

² Third Division Headquarters Hospital, Beijing Garrison Command, Beijing, ³ Institute of Molecular and Cell Biology, National University of Singapore, Singapore

Keywords: p38MAPK; gene transfection; glioma; apoptosis; rats

Abstract: **Aim** To study the effect of p38MAPK transfection on the biological characteristics of glioma cell C6.

METHODS p38MAPK was transfected into glioma cell C6 by lipofectin. Expression of p38MAPK was detected by

immunocytochemistry, HE staining and flow cytometry were adopted to measure the cell morphology, adhesion and cell cycle. **RESULTS** p38MAPK was expressed in transfected glioma cells, with cell biological characteristics changing and apoptotic cells emerging. **CONCLUSION** Apoptosis of glioma cell could be induced by p38MAPK transfection.

0 引言

蛋白质的磷酸化与去磷酸化是传递细胞各种信息的重要转导机制。蛋白激酶催化磷酸基团与蛋白质内特异的氨基酸共价结合, 一系列的蛋白激酶及其磷酸化活化构成了信号转导级联反应。丝裂素活化蛋白激酶 (mitogen-activated protein kinase, MAPK) 信号通路是近年来研究较多的蛋白激酶通路。在真核细胞中, 已鉴定出 4 条, 即细胞外信号调节蛋白激酶 (extracellular signal-regulated protein kinase, ERK) 通路, c-Jun 氨基末端激酶 (c-Jun N-terminal kinase, JNK)/应激活化蛋白激酶 (stress-activated protein kinase, SAPK) 通路, ERK5/大丝裂素活化蛋白激酶 1 (big MAP kinase, BMK1) 通路和 p38MAPK 通路。它们参与了细胞生长、发育、分裂及细胞间的功能同步等多种生理过程, 并参与细胞的恶性转化等病理过程。p38MAPK 除在细胞应激炎症反应中具有重要作用外, 也与细胞的发育、分化和凋亡密切相关。胶质瘤是中枢神经系统最常见的肿瘤, p38MAPK 对其生长的调节作用尚不了解。我们将外源性 p38MAPK 基因转染大鼠胶质瘤细胞系 C6, 以期研究其对胶质瘤细胞生物学特性的影响, 为充实信号转导在胶质瘤中的作用提供理论依据。

1 材料和方法

1.1 材料 大鼠胶质瘤细胞系 C6 由本教研室保存。pCMV5-p38MAPK 质粒和兔抗鼠 p38MAPK 抗体由新加坡国立大学林圣彩教授惠赠。pCMV5 质粒由本校生化教研室孙强惠赠。脂质体购自 Gibco 公司。免疫组化试剂盒购自武汉博士德公司。

收稿日期: 2000-06-14; 修回日期: 2000-08-29

基金项目: 高等学校骨干教师计划资助

作者简介: 章必成(1976-), 男(汉族), 湖北省黄冈市人, 硕士生(导师李青), Tel (029) 3374541 Ext 102 Email zhangbicheng @sina.com

1.2 基因转染 大鼠胶质瘤细胞系C6在含 $150 \text{ mL} \cdot \text{L}^{-1}$ 小牛血清的RPMI 1640培养液中常规培养, 细胞生长至对数期时以 $2 \times 10^5/\text{孔}$ 接种于6孔板, 培养24 h。将 $2 \mu\text{g}$ pCMV 5-p38MAPK, $10 \mu\text{L}$ 脂质体分别溶于 $100 \mu\text{L}$ 无血清培养基, 两溶液缓慢混匀, 室温放置30 min, 加入 0.8 mL 无血清培养基, 混匀后加入上述培养细胞内, 常规培养4 h后, 加入1mL含 $150 \text{ mL} \cdot \text{L}^{-1}$ 小牛血清的培养液, 继续培养24 h。同法转染pCMV 5质粒及未转染C6细胞作为对照。

1.3 形态学检测 转染同时制备细胞爬片, 转染后30 h取出, PBS洗涤2次, $950 \text{ mL} \cdot \text{L}^{-1}$ 乙醇固定15 min, HE染色。

1.4 免疫细胞化学染色 细胞爬片处理同上。一抗为兔抗鼠p38MAPK抗体(1:50), 4℃过夜, 加入二抗, 室温30 min, 加入SABC复合物,DAB显色, 苏木素衬染。

1.5 细胞周期分析 3组细胞各约 1×10^6 个, 经胰酶消化成单细胞悬液, PBS洗涤2次, $700 \text{ mL} \cdot \text{L}^{-1}$ 冷乙醇固定过夜, 用DPA I进行染色, 于流式细胞仪进行细胞周期分析。

2 结果

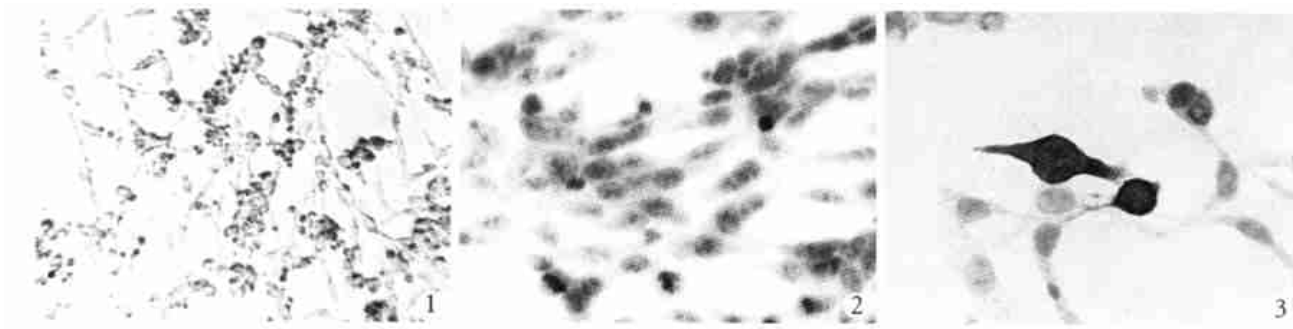


图1 转染pCMV 5-p38MAPK后细胞形态发生变化

Fig 1 Changes of cell morphology after pCMV 5-p38MAPK transfection $\times 100$

图2 转染pCMV 5-p38MAPK后出现凋亡细胞

Fig 2 Apoptotic cells after pCMV 5-p38MAPK transfection HE $\times 400$

图3 转染细胞p38MAPK免疫组织化学染色阳性

Fig 3 p38MAPK positive signals in the transfected cells ICC $\times 400$

3 讨论

p38MAPK通路是1993年发现的一类MAPK通路。研究表明, 细菌脂多糖(LPS)、紫杉醇(taxol)和蛋白激酶C(PKC)的特异激活剂PMA可以快速诱导某些细胞内的p38MAPK发生酪氨酸磷酸化^[1]。1994年, Han等^[2]首先在小鼠肝脏细胞中克隆了p38MAPK基因, 同时发现, p38MAPK在小鼠巨噬

2.1 形态学检测 转染pCMV 5-p38MAPK质粒后, 细胞由原来的多突起形逐渐变为双极或圆形, 体积缩小, 细胞内空泡增多(Fig 1), 贴壁性降低, 36 h后可见部分细胞漂浮于培养液中。pCMV 5质粒组和空白对照组无明显变化。HE染色显示pCMV 5质粒组和空白对照组细胞形态一致, 可见大量核分裂象, 转染pCMV 5-p38MAPK质粒组核分裂象明显减少, 细胞形态改变, 密度减低, 部分细胞固缩变圆, 深染, 胞核染色质边集, 呈环状、碎块状或新月体状, 可见胞质“出泡”现象, 此即凋亡细胞(Fig 2)。

2.2 免疫细胞化学染色 转染pCMV 5-p38MAPK质粒组P38MAPK蛋白表达阳性, 主要定位于胞质或(和)胞核, 凋亡细胞阳性稍强, 部分凋亡细胞胞核也可见阳性表达(Fig 3)。pCMV 5质粒组和空白对照组均未见p38MAPK蛋白表达。证实转染pCMV 5-p38MAPK质粒组有外源性p38MAPK基因的表达, 而pCMV 5质粒组和空白对照组则无外源性p38MAPK基因。

2.3 细胞周期分析 转染pCMV 5-p38MAPK质粒组, pCMV 5质粒组和空白对照组G1/G2无明显变化, 但转染pCMV 5-p38MAPK质粒组出现明显凋亡峰, 凋亡细胞占总数的34.1% (Fig 4)。

细胞和淋巴细胞中均有表达。p38MAPK通常由紫外线、高渗环境、砷盐、热休克、 H_2O_2 、细胞因子和生理应激等激活, 之后移位作用于相应的转录因子, 启动某些基因转录。ATF2、MEF2C、CHOP10和SA P1等是p38MAPK的生理作用目标^[3]。

p38MAPK除在炎症反应中起重要作用外, 还参与细胞的增殖和分化。Sen等^[4]发现L-1和TNF- α

可以激活胸腺细胞中的 p38MAPK，并诱导胸腺细胞中 AP-1, NF-AT 和 NF- κ B 转录，但不能激活 JNK/SAPK，说明 p38MAPK 参与胸腺细胞的发育和分化。在对凋亡的调节中，p38MAPK 也发挥了重要的作用。Xia 等^[5]发现 p38MAPK 通路的激活可导致神经细胞凋亡，而 ERK 通路的激活则抑制其凋亡。

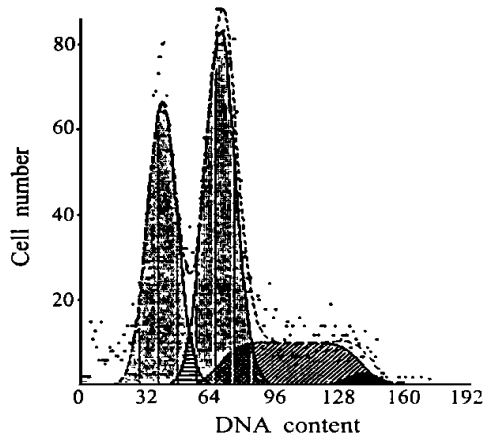


图 4 转染 pCMV 5-p38MAPK 后细胞周期发生变化

Fig 4 Changes of cell cycle after pCMV 5-p38MAPK transfection

p38MAPK 在肿瘤发生发展和生长周期中的作用尚不清楚。已有的研究证实 p38MAPK 在肿瘤中活性升高并能诱导凋亡的发生。对胶质瘤的研究显示，多巴胺、高渗、内源性 δ 鸦片受体(DOR)及鸦片受体样受体 1 (ORL 1)^[6]、LPS 及肺炎球菌胞壁成分(PCW)^[7]等可激活 p38MAPK。Hernandez 等^[8]曾在人星形胶质瘤细胞株中发现，p38MAPK 可使 TNF- α 诱导胞质磷酯酶 A2 磷酸化，参与维甲酸的代谢，提示 p38MAPK 在人胶质瘤细胞中表达并发挥作用。在 PKC 特异性抑制剂 calphostin C 诱导人胶质瘤凋亡的研究中，Ozaki 等^[9]检测到 p38MAPK 的活性升高但并非 calphostin C 诱导凋亡所必需。我们利用脂质体转染的方法，成功地将 p38MAPK 基因导入胶质瘤细胞，发现其细胞形态和粘着状况均发生明显变化。经 HE 染色和流式细胞仪检测，发现有典型的凋亡细胞出现。p38MAPK 诱导胶质瘤细胞凋亡的作用机制尚不清楚，推测可能是：p38MAPK 通过转染进入胞核后，启动某些癌基因如 c-myc/s-myc, c-fos, c-jun 和 fas 等发生转录^[10]。c-myc/s-myc 可以诱导 caspase 的表达，后者被认为是凋亡程序的执行者；c-fos 和 c-jun 则构成凋亡信号网络；fas 及其配体 fasL 是近年来受到普遍重视的介导细胞凋亡的信号转导系统。诱导某些癌基因蛋白如 p53 发生磷酸化^[11]。p53 蛋白是公认的与凋亡密切相关

的分子。增加 TNF- α 等基因转录活性^[12]。TNF- α 与其受体结合后，以与 fas 受体类似的途径导致细胞凋亡。有关此方面的研究正在进行中。

参考文献：

- [1] Han J, Lee JD, Tobias PS, Ulevitch RJ. Endotoxin induces rapid protein tyrosine phosphorylation in 70Z/3 cells expressing CD14 [J]. *J Biol Chem*, 1993; 268(33): 25009-25014.
- [2] Han J, Lee JD, Bibbs L, Ulevitch RJ. A MAP kinase targeted by endotoxin and hyperosmolarity in mammalian cells [J]. *Science*, 1994; 265(5173): 808-811.
- [3] Janknecht R, Hunter T. Convergence of MAP kinase pathways on the ternary complex factor Sap1a [J]. *EMBO J*, 1997; 16: 1620-1627.
- [4] Sen J, Kapeller R, Fragoso R, Sen R, Zon LI, Burakoff SJ. Intrathymic signals in thymocytes are mediated by p38 mitogen-activated protein kinase [J]. *J Immunol*, 1996; 156(12): 4535-4538.
- [5] Xia Z, Dickens M, Raingeaud J, Davis RJ, Greenberg ME. Opposing effects of ERK and JNK/p38 MAP kinases on apoptosis [J]. *Science*, 1995; 270(5240): 1326-1331.
- [6] Zhang Z, Xin SM, Wu GX, Zhang WB, Ma L, Pei G. Endogenous delta opioid and ORL 1 receptors couple to phosphorylation and activation of p38MAPK in NG108-15 cells and this is regulated by protein kinase A and protein kinase C [J]. *J Neurochem*, 1999; 73(4): 1502-1509.
- [7] Schumann RR, Pfeil D, Freyer D, Buerger W, Lampert N, Kirschning CJ, Goebel UB, Weber JR. Lipopolysaccharide and pneumococcal cell wall components activate the mitogen activated protein kinases (MAPK) erk-1, erk-2, and p38 in astrocytes [J]. *Glia*, 1998; 22(3): 295-305.
- [8] Hernandez M, Bayon Y, Sanchez Crespo M, Nieto ML. Signaling mechanisms involved in the activation of arachidonic acid metabolism in human astrocytoma cells by tumor necrosis factor- α : Phosphorylation of cytosolic phospholipase A2 and transactivation of cyclooxygenase-2 [J]. *J Neurochem*, 1999; 73(4): 1641-1649.
- [9] Ozaki I, Tani E, Ikemoto H, Kitagawa H, Fujikawa H. Activation of stress-activated protein kinase/c-Jun NH₂-terminal kinase and p38 kinase in calphostin C-induced apoptosis requires caspase-3-like proteases but is dispensable for cell death [J]. *J Biol Chem*, 1999; 274(9): 5310-5317.
- [10] Noguchi K, Yamana H, Kitanaka C, Mochizuki T, Kokubu A, Kuchino Y. Differential role of the JNK and p38 MAPK pathway in c-Myc and s-Myc-mediated apoptosis [J]. *Biochem Biophys Res Commun*, 2000; 267(1): 221-227.
- [11] Keller D, Zeng X, Li X, Kapoor M, Jordanov MS, Taya Y, Lozano G, Magun B, Lu H. The p38MAPK inhibitor SB203580 alleviates ultraviolet-induced phosphorylation at serine 389 but not serine 15 and activation of p53 [J]. *Biochem Biophys Res Commun*, 1999; 261(2): 464-471.
- [12] Morita Y, Naka T, Kawazoe Y, Fujimoto M, Narasaki M, Nakagawa R, Fukuyama H, Nagata S, Kishimoto T. Signals transducers and activators of transcription (STAT)-induced STAT inhibitor-1 (SSI-1)/suppressor of cytokine signaling-1 (SOCS-1) suppresses tumor necrosis factor alpha-induced cell death in fibroblasts [J]. *Proc Natl Acad Sci USA*, 2000; 97(10): 5405-5410.

编辑 王睿